

石川島播磨重工(株) 正会員 植木秀一
佐々木誠

1. まえがき

ケーブル斜張橋の架設途上において制御されたケーブルの振動は、降雨が伴う風の強い時に発生し、その挙動は滑動振またはバフェティングでは説明され難い現象である。実機制御からこの現象が雨に起因していることを明らかにする。雨風で再現した風洞試験によると、現象の発生機構を説明できる。今回の風洞試験は、発生機構解明、第1段階として、雨などのように振動発生に結びつけるものか、さらに実機で認められた現象と特徴がどのようして説明されるかを定量的に明らかにしておきたい。

2. 試験方法

Reynolds数の影響を考慮、試験には実機ケーブルを用いた。3m長(40°)ケーブル(実際にはP.E管のみ)をバネ式吊り、振動自由度を実機ケーブルの鉛直弦振動に対応する1自由度とした。2次元的に振動応答を調べた。振動数は2Hzの1種とした。試験条件を実機値と比較すると、試験風速は実機値と一致するが、スクレート数は質量比達10倍と実機値約1/10000と比べる。降雨はケーブルの風上に水道水をスプレーする方法で再現した。ケーブルの姿勢(P, θ)によつてはケーブルの端部が一樣流領域からみ出しがある。試験は完全に2次元性の下で行われることとは言えない。したがって、以下に示す数値は現象を定性的に説明するためのものである。

3. 雨の振動誘起機構

ケーブルの風洞気流中応答(図-2)は、スプレー雨を降らすと滑動振発現風速より高風速で大きな振動が発生する。このときの雨の挙動を観察すると、ケーブルに当たる雨はケーブルに沿って流れ落ちるときにケーブル表面に水路が形成される。水路の形成状態は、風速とケーブル姿勢によつて異なり、大きな振動が発生する際には上面と下面の両方、または上面のみである(図-3)。ケーブルの斜角θを持つていると、下面水路(無風状態でも $\alpha = -90^\circ$)に形成されるが、有風時には風圧によつて下流側へ移動する。一方、上面水路は有風時にしか形成されず、ケーブルに当たる雨や風圧によつてケーブル面上に沿つて押上げられるが、完全に吹き飛ばされず $\alpha = 0^\circ$, $\theta = 80^\circ$ 近辺のスリップ角を持った水路が形成される。気流は上面水路の前線で剥離し、後線で再付着しているようである。上面水路は剥離領域幅で形成されると思われる。上面及び下面水路の挙動を細かく観察すると、雨はケーブル運動にともなう慣性力によつて円周方向に剥離しながらケーブル面を流れ落ちる。

このようす雨の挙動から判断し、雨風時に発生する振動は、ケーブルに沿つて流れの雨によつてケーブル断面が空力的に不安定な形状に変化するこれが起因する現象であると言える。この不安定現象は次々と繰り返される。水路形成によつて断面揚力曲線式負荷となり発生するギャロッピング。ギャロッピングを生じる多型架空通信ケーブル(吊線角度 $\beta = 40^\circ \sim 100^\circ$ 位置するとき負荷配をもつ報告⁽²⁾されてるが(図-4))

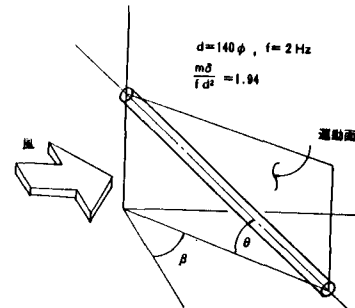


図-1 試験条件

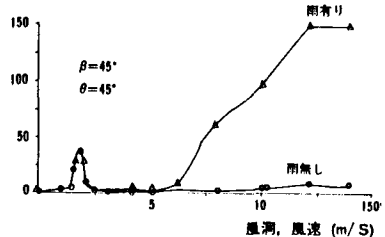


図-2 雨有り・雨無時応答(1)

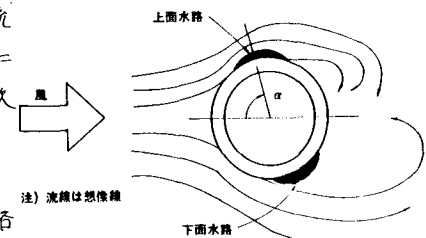


図-3 上面と下面の水路

$\delta = 80^\circ$ 近辺に形成される上面水路代用線と同じ結果をもたらしている可能性がある。(ii)用の流れがケーブル断面円周方向に脈動する $\beta = 45^\circ$ に起因する自励振動。流れの脈動は、接近流れのみの場合、着水架線が回転運動してからこれに対応するが、このようなくさき自励振動が発生すると報告⁽³⁾されてる。

4 ケーブルの挙動

ケーブルの挙動は角量、ケーブル姿勢によつて次のように変化する。

用量との関係 振幅は用量によつて変化し、適度な用の下で振幅は最も大きくなる。用量を小雨程度にすると振幅は継続するが、振幅は減少する。用量を極端に増すと振幅は完全に静止する。また、最大振幅を生じさせ用量は、風速、ケーブル姿勢によつて異なる。このように用量と振幅の関係は非常に複雑であるが、振幅の変化はケーブルに沿う流れの量によつて断面形状が変化し、断面空力特性が異なるために生じると考えられる。

風向との関係 実機観測において、振動は風向方向に下り勾配を持つケーブルに発生した式、下り勾配が風向逆方向のケーブルには発生しない。 $\beta = 45^\circ$ では、前者が $\beta > 0$ 、後者が $\beta < 0$ に対応する。日 $=45^\circ$ と $\beta = 45^\circ$ 、 $\beta = 45^\circ - 45^\circ$ にせよしたての有風度減衰をそれぞれ図5と図6に示す。 $\beta = 45^\circ$ の場合は雨発振の発散振動が発生するが $\beta = -45^\circ$ ではケーブル応答は正減衰となり、実機観測と同じ現象を示すことが知られる。発散振動時の用の挙動は3. 述べたように上回り下回り水路が形成されるが、 $\beta = -45^\circ$ の姿勢では上面水路ではない。

ケーブル勾配との関係 $\beta = 45^\circ$ と $\beta = 25^\circ$ 、ケーブル勾配 $\theta = 25^\circ$ にせよしたての応答を図7に示す。振幅は、勾配が大きい場合($\theta = 45^\circ$ 、図2)と比較して、低風速から発現している。この結果は、実機においてこの低風速時に上段ケーブル、すなわち勾配の小さいケーブルに大きな振幅が発生しないかの現象を説明していると考えられる。しかし、高風速時に振幅発生勾配の大きいケーブルに限定されず、実機現象を説明するものではない。

5. あとでまき 以上、用と斜張橋ケーブル振動の結びつき、ならびに振動現象と用量、風向に対するケーブル姿勢等によつて微妙に変化するところを明らかにさせて考えられる。Rain Vibration(下二つまで)は固定化された形状構造断面に関する空力問題とは異なり、断面形状やケーブル姿勢、用量、風速等によつて変化するという意味で新しい問題であると言える。近年、橋梁形式として斜張橋が多く採用される傾向があることはご存知。ケーブル径、被覆材、材質と振幅との関係等を含めた総合的今後進むべき予定である。

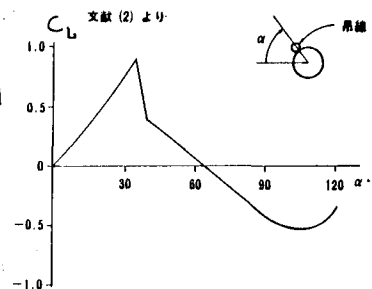


図-4 8号型断面実験結果ケーブル

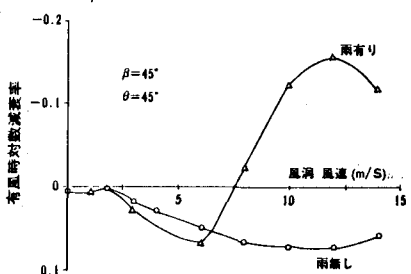


図-5 $\beta = 45^\circ$ 減衰特性

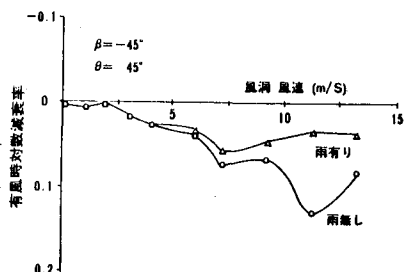


図-6 $\beta = -45^\circ$ 減衰特性

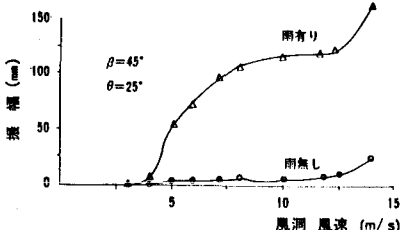


図-7 $\theta = 25^\circ$ 減衰特性

参考文献

- (1) 川上 雨張橋ケーブル Rain Vibration 特徴 第40回国土木学会年次学術講演会(発表予定)
- (2) 藤野・山口・日暮「8号型断面における架空通電ケーブルの自励振動」第8回国風工学シンポジウム、1984
- (3) O.Nigol, P.G.Buchan "Conduction Galloping-Part II-Den Hartog Mechanism" IEEE 79TH0064-6-PWR